

**Remigiusz MYDLIKOWSKI<sup>1</sup>, Adam SZYNKIEWICZ<sup>2</sup>**

**BADANIA STANU WAŁÓW PRZECIWPOWODZIOWYCH PRZY UŻYCIU  
RADARU GPR**

**RESEARCH OF CONDITION OF FLOOD BANKS USING GROUND  
PENETRATING RADAR (GPR)**

**Abstract**

Flood banks are construction to protect nearest region of those rivers from high water level. Spring - sloppy roads or torrential rains cause very often that a level of water in those rivers increase and lead to flood. The flood most often is a result of bad technical conditions of flood banks. It means that proper conditions of flood banks have strategic meaning for protection of people lives and environment.

This article presents results of research of the flood bank structure carried out with classic geological method and with the GPR radar. Measurements were carried out on the flood bank of the Odra river in Wrocław. The results show the appropriateness for applying the radar method to the preliminary assessment of the technical condition of embankment.

**Key words:** ground penetration radar, flood bank

**Wstęp**

Ludzkość od zawsze wykorzystywała rzeki jako naturalne źródła wody pitnej, wody do celów gospodarczych oraz jako szlaki do przemieszczania się i transportu towarów. Osiedlanie się nad rzekami i budowa miast nad nimi była naturalną konsekwencją potrzeby bliskości źródeł wody. Jednakże bliskość rzeki czy też innego zbiornika wodnego oprócz wielu korzyści dla człowieka i jego gospodarki stwarza również spore zagrożenia. Wiosenne roztopy lub też obfite opady deszczu powodują podnoszenie się stanu wody w rzekach. Często konsekwencją wysokiego stanu wody jest wylanie rzeki z jej koryta i powstanie powodzi co pociąga za sobą straty społeczne i materialne. Naturalną ochroną przed wysokim stanem wód i ich skutkami jest zatem budowa wałów przeciwpowodziowych.

Pierwsze wały przeciwpowodziowe w Polsce zaczęto budować w 13 wieku. Szczególny rozwój tych budowli miał miejsce w 19 i 20 wieku. Wały były budowane z różnych materiałów (dostępnych w danym rejonie) oraz przy użyciu różnych technologii. Przez lata były one remontowane, zmieniano ich przebieg, często przeprowadzano przez nie infrastrukturę techniczną (rurociągi, kable, elementy betonowe, itp.). W wielu miejscach wałów przez lata zachodziły procesy gnilne resztek roślinności, małe ssaki ryły nory i korytarze, w wielu miejscach korona wałów wykorzystywana była jako droga dojazdowa. W konsekwencji tych wszystkich czynników istniejące obwałowanie rzek w Polsce jest w bardzo różnym stanie technicznym.

---

<sup>1</sup> Dr, Institute of Telecommunications, Teleinformatics and Acoustic, Wrocław University of Technology, Wyspińskiego 27, Wrocław, Poland, [remigiusz.mydlkowski@pwr.wroc.pl](mailto:remigiusz.mydlkowski@pwr.wroc.pl)

<sup>2</sup> Dr, Institute of Geological Sciences, Wrocław University, pl. M.Borna 9, Wrocław, Poland, [aszyn@ing.uni.wroc.pl](mailto:aszyn@ing.uni.wroc.pl)

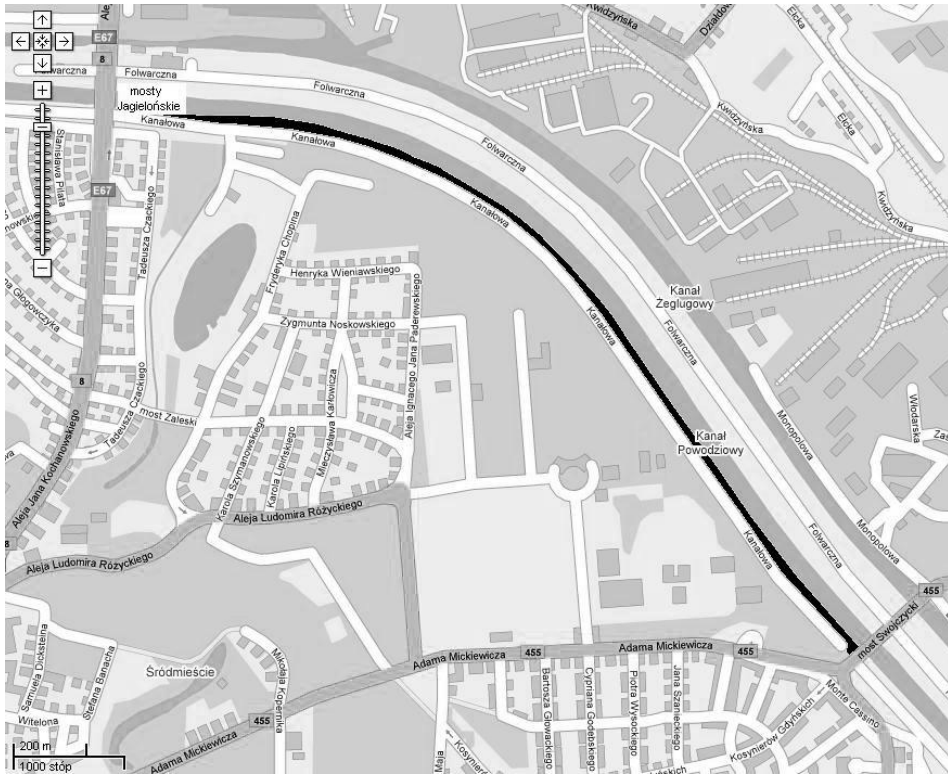
Służby zajmujące się wałami w Polsce zobligowane są do okresowego sprawdzania ich stanu technicznego. Według polskiej normy (Prawo wodne 2001) sprawdzenia takiego dokonuje się poprzez odwierty geologiczne i analizę uzyskanych próbek. Wybór umiejscowienia odwiertów dokonywany jest na podstawie oględzin zewnętrznego stanu technicznego wału. Wykonuje się co najmniej 3 odwierty na 1 km długości wału i po analizie próbek interpoluje się całą strukturę wału pomiędzy danymi pochodzącymi z odwiertów.

Prowadzenie badań technicznych metodą opisaną w normie, jest niejednokrotnie zawodne. Interpolacja wyników na tak znacznym odcinku wału, może wprowadzać pewne błędy w faktycznej ocenie stanu technicznego wału. Dla pełniejszej analizy, badania takie wspomagane powinny być wstępnymi badaniami elektromagnetycznymi. Badania elektromagnetyczne struktury z łatwością mogą wskazać miejsca w których struktura geologiczna wału jest zmieniona. Na tej podstawie wybór miejsc klasycznego sondowania może być znacznie ułatwiony. Bardzo przydatnym urządzeniem do wspomagania klasycznych metod pomiarowych może okazać się radar do penetracji gruntu (Forest, Watters, Chen 2004, Szykiewicz 2000).

W artykule przedstawiono wyniki badań struktury wału przeciwpowodziowego radarem do penetracji gruntu GPR oraz klasyczną metodą oceny wzrokowej wału i analizy odwiertów geologicznych. Pomiarów dokonano w mieście Wrocław na wale przeciwpowodziowym pomiędzy mostami Jagiellońskimi i Swojszyckim na lewym brzegu kanału powodziowego na całej jego długości. W artykule przedstawiono analizę wyników pomiarów na przykładowym 200 metrowym odcinku wału.

### **Badania struktury wału przeciwpowodziowego**

Badania wału przeciwpowodziowego przeprowadzono we Wrocławiu na wale rzeki Odry. Pomiary wykonana na kanale przeciwpowodziowym pomiędzy mostami Jagiellońskimi a Swojszyckim na lewym brzegu kanału (rys.1). Odcinek tego wału chroni przed powodzią dwa wrocławskie osiedla (Zalesie i Sępolno), które zamieszkuje około 30 tys. ludności.



**Rys.1** Mapa z zaznaczonym odcinkiem badanego wału przeciwpowodziowego

Autorzy referatu przeprowadzili badania struktury wału przeciwpowodziowego radarem GPR szwedzkiej firmy Mala Geoscience z anteną osłonową o częstotliwości roboczej 250 MHz (Mydlkowski 2007). Wyniki tych pomiarów porównano z wynikami uzyskanymi klasycznymi metodami pomiarowymi. Ocenę stanu technicznego poprzez ocenę wzrokową i analizę laboratoryjną wykonanych odwiertów geologicznych, wykonały służby mające pod opieką wały we Wrocławiu i okolicy.

W artykule przedstawiono porównanie otrzymanych wyników metoda radarową z wynikami uzyskanymi z klasycznych metod geologicznych. Analizę pokazano dla przykładowego 200 metrowego odcinka wału usytuowanego pomiędzy 200 a 400 metrem długości wału licząc od strony mostów Jagiellońskich.

### **Wyniki badań odcinka wału klasyczną metodą geologiczną**

Ocena stanu wału przeciwpowodziowego została przeprowadzona przez służby mające pod opieką wały we Wrocławiu i okolicy. Przeprowadzono wzrokową ocenę stanu technicznego wału na całej jego długości (2600 m), tabelaryczne zestawienie wyników pokazano na rys.2. Wykonano również 11 sondujących odwiertów geologicznych. Próbkę gruntu pobrane z odwiertów poddano analizie laboratoryjnej (rys.3). Na rysunkach 2 i 3, szarym kolorem, zaznaczono wyniki analizy wału pomiędzy 200 a 400 metrem jego długości. Na rysunku 4 przedstawiono końcowe wnioski z badań wału przeciwpowodziowego, typując zagrożone miejsca w budowie wału.

WAŁ		CĘKTY WAŁOWE I WBUDOWANE W WAŁ		STRONA CĘKODNA (MIĘDZY WAŁE)		STRONA ODPOWIERZNA (ZAWALE)	
Kolejny km odcinka	Opis	Kolejny km odcinka	Opis	Kolejny km odcinka	Opis	Kolejny km odcinka	Opis
<b>ODCINEK 1Pc - Pierścieniowy kanału powodziowego II (2,20 – 4,89 km kanału powodziowego)</b>							
0,00 – 0,40	Początek wału oparty o przyczółek mostu Jagiellońskiego. Wał wąski, wysoki. Korona porośnięta szpalerni drzew. Na koronie pojedyncza kolumna po jednośladoch. Ponadto korona zdeformowana, zapadnięta na znacznych odcinkach. Brak półki. Ubytki w zadarnieniu. Lokalnie w poprzek wału wydeptane „dzikie” ścieżki.	0,01	Zjazd gruntowy na stronę OW, zniszczony.	0,00 – 2,60	Międzywałę wąskie szerokości 30 – 50m. Teren płaski porośnięty łąką. Lokalnie zakrzewiony z pojedynczymi młodymi drzewami. W końcowym odcinku na długości ok. 100m międzywałę zaniedbane, gęsto zakrzewione, dużo samosiejek drzew.	0,00 – 2,60	Wzdłuż wału szpalery drzew, pomiędzy nimi ścieżka spacerowa, w początkowej części z nawierzchnią asfaltową, dalej gruntowa. W głębi zabudowania dzielnicy Zalesie, a na odcinku ok. 1,35 – 2,40 obiekty Stadionu Olimpijskiego. Przy stopie wału lokalnie bardzo gęste zakrzewienie, wchodzące miejscami na skarpę OP i koronę. Od km 2,40 do 2,60 plac zabaw dla dzieci, w głębi zabudowania dzielnicy Sępolno.
0,40 – 2,15	Korona szeroka, nierówna. Na kornie od strony OP szpalery dębów. Wydeptane przejścia w poprzek wału. Zamiast darni chwasty i pokrzywy. Lokalnie skarpy porośnięte krzewami. Na km 1,90 na krawędzi korony od strony OW murak betonowy (rodzaj tarasu) za nim na długości ok. 100m stare słupki betonowe.	0,10	Schody betonowe od strony OP, spękane. Przy schodach skarpa wydeptana, zniszczona.				
		0,19	Przejazd gruntowy, stan dobry.				
		0,30	Schody od strony OP betonowe, spękane. Wokół schodów skarpa zniszczona.				
		0,38	Wylot rurociągu z rowem odprowadzającym do kanału powodziowego, betonowy, zasypany, niedostępny.				
2,15 – 2,60	Stan wału wyraźnie lepszy. Skarpy i korona porośnięte trawą. Środek korony wydeptany. Brak wyraźnych zniszczeń i deformacji.	0,64	Schody od strony OP betonowe, spękane. Wokół schodów skarpa zniszczona.				
		0,88	Schody od strony OP betonowe, spękane. Wokół schodów skarpa zniszczona.				
		0,96	Zjazd gruntowy na stronę OP, rozjeżdżony.				
		0,98	Zjazd gruntowy na stronę OW, zarosnięty trawą.				
		1,15	Schody od strony OP betonowe, stan dobry.				
		1,36	Schody od strony OP betonowe, stan dobry.				
		1,83 – 1,84	Schody od strony OW betonowe, spękane, wokół schodów skarpa zniszczona.				
		1,90	Schody od strony OW betonowe, spękane, wokół schodów skarpa zniszczona.				
		1,91	Schody na stronę OW i OP, betonowe, spękane, wokół schodów skarpa zniszczona.				
		1,92	Schody od strony OW betonowe, spękane, wokół schodów skarpa zniszczona.				
		1,94	Schody od strony OW betonowe, spękane, wokół schodów skarpa zniszczona.				
		2,28	Przejazd gruntowy, rozjeżdżony, z koleinami.				
		2,43	Schody od strony OP betonowe, spękane, wokół schodów skarpa zniszczona.				
		2,51	Schody od strony OP betonowe, spękane, wokół schodów skarpa zniszczona.				
		2,56	Zjazd gruntowy na stronę OW, rozjeżdżony, z koleinami.				

Rys.2 Wyniki oceny wzrokowej wału przeciwpowodziowego

### Wyniki badań odcinka wału metodą georadarową

Badania struktury wału przeciwpowodziowego przeprowadzono radarem RAMAC/GPR z antena osłonową 250 MHz. Do sondowania struktury wybrano  $Ti = 0,3$  m (trace interval) oraz  $F = 4289$  MHz (sampling frequency). Badania przeprowadzono na całej długości wału. Na rysunku 5 przedstawiono przykładowy falogram przedstawiający strukturę 200 metrowego odcinka analizowanego wału.

WYNIKI BADAŃ LABORATORYJNYCH  
 Obiekt: Wały przeciwpowodziowe rzeki Odry

Załącznik nr: 420060

Próbki dostarczone do badań w styczniu 2009 r.

Wrocław, dn. 13.01.2009 r.

№	Odcinek nr	Głęb. [m]	Stwierdzenie pęknięcia	Opis makroskopowy gruntu	Nazwa gruntu wg analizy	Ciężkość właściwa [kN/m³]	Ciężkość objętościowa (*) [kN/m³]	Ciężkość objętościowa arkłowa gruntu [kN/m³]	Porowatość [m³]	Stopień pusty-ściowości [m³]	Wskaznik pusty-ściowości [m³]	Wilgotność naturalna [%]	KONSYSTENCJA		ANALIZA GRANULOMETRYCZNA													
													Granica płynięcia [%]	Granica płynięcia [%]	Analiza atomometryczna (zawartość ziarna w mm)				Analiza sitowa (zawartość ziarna w mm)				Zawartość frakcji po przekłamaniu (zawartość ziarna w mm)					
1	2	3	4	5	6	7	8	9	10	11	12	13	14	15	16	17	18	19	20	21	22	23	24	25	26	27		
1	IPu1/2	1,00	NP1a	Piaszcz. pylasty, dom. zwir, gr. gliny żółta, mm, CaCO <sub>3</sub> <1%	Ps	2,64	1,64	1,57	40,38	-	-	4,2	-	-	-	-	-	-	-	-	-	-	-	-	-	-	-	
2	IPu2/2	0,80	NP1	Piaszcz. drobny, dom. zwir, gr. gliny szaro-żółta, mm, CaCO <sub>3</sub> <1%	Pd	2,65	1,72	1,66	37,35	-	-	3,6	-	-	-	-	-	-	-	2	2	13	74	9	-	-	-	
3	IPu2/3	2,40	III1	Piaszcz. średni, dom. zwir, szaro-żółty, mm, CaCO <sub>3</sub> <1%	Ps	2,64	1,66	1,61	38,83	-	-	2,8	-	-	-	-	-	-	-	1	23	51	17	8	-	-	-	
4	IPu3/3	3,50	III1	Popioła, żółtożółta, mm, CaCO <sub>3</sub> <1%	Po	2,64	2,05	1,78	32,99	-	-	15,2	-	-	-	-	-	-	-	24	29	36	9	2	-	-	-	
5	IPu4/1	1,50	NC2	Olina (pyłista) zwięzła z cziptkami ograniczonymi, dom. zwir, szarozółta, mm, 1x1, tg, CaCO <sub>3</sub> <1%	Gz	2,69	1,78	1,58	-	-	-	12,7	-	-	-	2	33	43	22	-	-	-	-	-	-	-	-	
6	IPu4/3	2,40	II2	Piaszcz. średni, dom. zwir, żółtożółta, mm, CaCO <sub>3</sub> <1%	Ps	2,64	1,71	1,61	39,07	-	-	6,3	-	-	-	-	-	-	-	4	35	53	7	1	-	-	-	
7	IPu5/1	3,50	II1	Piaszcz. średni, dom. zwir, żółta, w, CaCO <sub>3</sub> <1%	Ps	2,64	1,62	1,58	40,31	-	-	2,8	-	-	-	-	-	-	-	1	18	53	25	3	-	-	-	
8	IPu5/2	1,40	NG1	Piaszcz. glistnawy z zwir, sz. żółty, mm, CaCO <sub>3</sub> <1%	Pg	2,63	1,59	1,50	43,13	-	-	6,3	-	-	-	1	88	8	3	-	-	-	-	-	-	-	-	
9	IPu5/3	2,00	II2	Piaszcz. średni, dom. zwir, żółta, w, CaCO <sub>3</sub> <1%	Ps	2,64	1,65	1,58	40,19	-	-	4,5	-	-	-	-	-	-	-	3	31	55	10	1	-	-	-	
10	IPu7/1	3,50	III1	Piaszcz. średni, żółtożółta, mm, CaCO <sub>3</sub> <1%	Ps	2,64	1,69	1,64	37,79	-	-	2,9	-	-	-	-	-	-	-	3	27	51	14	5	-	-	-	
11	IPu8/3	2,20	II2	Piaszcz. grubo sz. zwięzły, żółtożółta, w, CaCO <sub>3</sub> <1%	Pv+Z	2,64	1,78	1,68	36,45	-	-	6,1	-	-	-	-	-	-	-	8	43	36	9	4	-	-	-	
12	IPu9/2	1,50	NP1a	Piaszcz. średni, gr. gliny szaro-żółty, mm, CaCO <sub>3</sub> <1%	Ps	2,65	1,69	1,62	38,74	-	-	4,1	-	-	-	-	-	-	-	0	3	48	41	8	-	-	-	
13	IPu9/2	5,50	III1	Popioła, żółtożółta, w, CaCO <sub>3</sub> <1%	Po	2,65	1,83	1,73	34,67	-	-	5,7	-	-	-	-	-	-	-	14	24	39	17	6	-	-	-	
14	IPu1/1	3,50	II2	Piaszcz. średni, dom. zwir, żółta, mm, CaCO <sub>3</sub> <1%	Ps	2,64	1,61	1,58	40,03	-	-	1,7	-	-	-	-	-	-	-	1	20	50	25	4	-	-	-	
15	IPu1/2	1,50	NP1	Piaszcz. średni, dom. zwir, gr. gliny szaro-żółta, mm, CaCO <sub>3</sub> <1%	Ps	2,66	1,67	1,63	38,57	-	-	2,2	-	-	-	-	-	-	-	3	33	37	16	9	-	-	-	

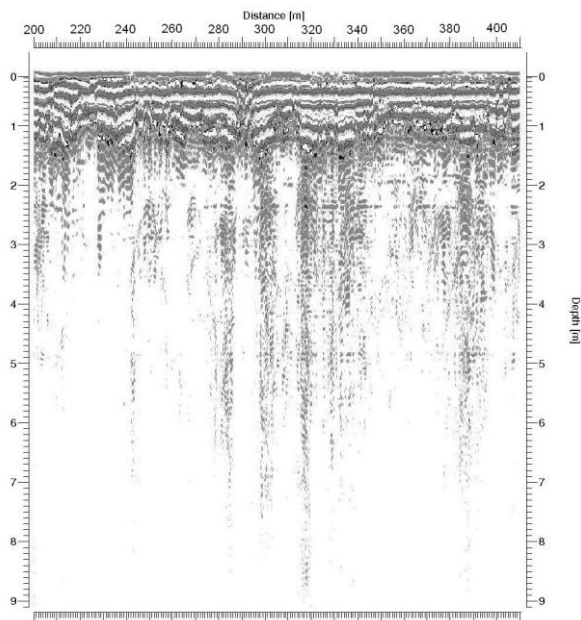
\* - gęstość objętościowa określona dla gruntu w stanie średnio zagęszczonym

Rys.3 Wyniki badań laboratoryjnych próbek z odwiertów w wale przeciwpowodziowym

ZESTAWIENIE ZBIORCZE ZAGROZEŃ - WAL IPc - Pierścieniowy kanału powodziowego II

LOKALIZACJA		CHARAKTERYSTYKA GEOMETRII WAŁU					OCENA ZAGROZEŃ						STOPIEŃ ZAGROŻENIA	Sufozja wal/podtoż.
Oznaczenie odcinka klasy walu	Nr przekroju poprzecznego	Skarpa odwodna		Korona	Skarpa odpowietrzna		S - stężoność spłyna	zagrożenia filtracyjne			przebieg hydroliczny			
		wysokość h <sub>1</sub>	nachylenie generalne 1: m <sub>1</sub>	szerokość b	wysokość h <sub>2</sub>	nachylenie generalne 1: m <sub>2</sub>		prześląk	przekroczenie las w stropie	przekroczenie las w podłożu		kategoria wysiłkowa		
		m	-	m	m		kategoria/ f <sub>chl</sub> min	podkategoria	podkategoria	podkategoria	-	kategoria		
WAL IPc	1	3,2	3,2	4,0	0,9	3,9	A / 2,5	a	a	b	B	-	I	a/c
	2	3,7	3,0	3,9	1,0	3,0	C / 1,176 sk. odwodna	c	a	a	A	-	III	a/c
Pierścieniowy kanału powodziowego II	3	3,4	3,0	4,9	1,0	2,9	A / 1,9	c	a	a	A	-	I	a/c
	4	3,5	3,0	4,7	1,0	3,0	C / 1,5	c	a	a	A	-	III	a/c
Kl. I	5	3,7	3,0	5,0	1,0	3,0	B / 1,657 sk. odwodna	b	a	b	B	-	II	a/c
	6	3,5	3,1	4,7	1,0	3,0	A / 3,0 sk. odpow.	a	a	a	A	A	I	a/a
	7	3,4	3,3	3,7	0,8	3,2	A / 2,5	b	a	b	B	A	I	a/a
	8	3,2	3,5	4,0	0,9	3,1	A / 3,0	b	a	a	A	-	I	a/a
	9	3,6	3,3	4,0	0,9	3,3	B / 1,7	b	a	b	B	A	II	a/a
	10	3,9	3,2	3,2	1,0	4,0	A / 1,9	b	a	b	B	A	I	a/a
	11	3,9	3,2	3,8	1,0	3,6	C / 1,288 sk. odwodna	c	a	a	A	-	III	a/c

Rys.4 Zestawienie zbiorcze zagrożeń wału; a, b, c – kategorie zagrożeń filtracyjnych (a – max); I, II, III – stopień zagrożenia przerwaniami wału (I – max)



**Rys.5** Wyniki pomiarów struktury wału przeciwpowodziowego radarem GPR

### **Porównanie wyników badań odcinka wału przeciwpowodziowego**

Wzrokowa ocena stanu wału przeciwpowodziowego, na odcinku między 200 a 400 metrem jego długości, wskazuje na 300 metrze zniszczone schody i na 380 nieczynny rurociąg. Laboratoryjna analiza próbek gruntu pobranych z odwiertu na 350 m (1Pc/2/2) zawiera informację o składzie gruntu w tym miejscu. W większości wykonanych odwiertów widać, że wał zbudowany jest z różnej grubości piasku z domieszką żwiru.

Wyniki uzyskane z radaru GPR wskazują na pewną niejednorodność w strukturze falogramu w okolicy 300 m wału (schody betonowe). Podobnie w okolicy 380 m widać sporą niejednorodność w strukturze wału spowodowaną istnieniem w wale nieczynnego rurociągu. Jest zatem zgodność wyników uzyskanych z metody radarowej ze wzrokową oceną stanu wały. Metoda radarowa wskazuje jednak jeszcze kilka miejsc, niezauważalnych na powierzchni wału, o zmienionej strukturze wewnętrznej. Zaburzenia takie występują w okolicach 220 i 250 metra długości wału.

Ocena stanu technicznego wału klasycznymi metodami, tj. ocena wzrokowa, wybór miejsc sondowania, analiza laboratoryjna pobranych próbek gruntu, zajęła co najmniej kilka dni. Profilowanie falą elektromagnetyczną niespełna 2 godziny. Przy użyciu radaru do penetracji gruntu możliwe jest bezinwazyjne i liniowe śledzenie struktury wału na całej jego długości. Metoda ta jednak nie daje wprost odpowiedzi jaka jest mikroskopijna struktura wału i jaka jest wilgotność poszczególnych jego warstw. Pozwala jednak wskazać, w stosunkowo krótkim czasie, miejsca o zmienionej strukturze wewnętrznej wału. Wytypowanie takich miejsc może pozwolić na dokładniejszą ich analizę, czyli ocenę wzrokową, ewentualne odwierty geologiczne i

analizę laboratoryjną uzyskanych próbek. Celem jest zatem stosowanie metody georadarowej do wstępnej oceny stanu technicznego wału przeciwpowodziowego i przy jej pomocy wskazywania zagrożonych miejsc wale do dalszej analizy.

### **Wnioski**

1) Badania klasycznymi metodami geologicznymi stanu wału przeciwpowodziowego jest dosyć pracochłonnym procesem. Uzyskuje się z tych metod jednak dość dokładny obraz struktury wału przeciwpowodziowego. Wykonanie odpowiedniej ilości odwiertów i ich laboratoryjna analiza, pozwala na interpolację wyników na całej długości wału.

2) Stosowanie oceny wzorkowej jako jedyne go wskaźnika do wyboru miejsc sondowania może być zawodne. Wykonywanie odwiertów w znacznej odległości od siebie i niekoniecznie w miejscach szczególnie zagrożonych może zaciemniać uzyskiwany z nich obraz.

3) Wykonywanie miejscowych odwiertów punktowo osłabia strukturę wału przeciwpowodziowego

4) Stosowanie radaru GPR pozwala na liniowe i bezinwazyjne śledzenie struktury wału na całej jego długości. Stosowanie tej metody nie daje jednakże dokładnych informacji na temat składu poszczególnych warstw wału ani ich wilgotności, itp..

5) Celem jest stosowanie metody georadarowej do wstępnej oceny struktury wału przeciwpowodziowego. Wykonanie pomiarów w stosunkowo krótkim czasie pozwala na wskazanie miejsc w których struktura wału jest zmieniona. Wskazane miejsca mogą być pomocne przy wyborze miejsc sondowań klasyczną metodą pomiarową.

### **Literatura**

- [1] Szykiewicz A.: GPR monitoring of earthen flood banks/levees. 8 Int. Conference on Ground Penetrating Radar, 2000, Vol. 4084, pp.85-90.
- [2] Forest R., Utsi V.: Non-destructive crack depth measurements with ground penetrating radar. 10 International Conference on Ground Penetrating Radar, 2004, Vol. II, pp.799-802.
- [3] Watters M.S.: GPR: A tool for archaeological management. 10 International Conference on Ground Penetrating Radar, 2004, Vol. II, pp.811-816.
- [4] Chen B., Hu Z., Li W.: Using ground penetrating radar to determine water of rehabilitated coalmine soils treated by different methods. 10 International Conference on Ground Penetrating Radar, 2004, Vol. II, pp.513-516.
- [5] Ustawa o prawie wodnym z dnia 18 lipca 2001r. (Dz.U.2001.115.1229).
- [6] Mydlikowski R., Beziuk G., Szykiewicz A.: Detection of inhomogeneities in structure of flood embankments by means of D.C. resistivity, GPR and frequency electromagnetic method measurements - short note, Acta Geodynamica et Geomaterialia, 2007, Vol.4, no 4, pp.83-88.

